

## کاربرد کریجینگ شاخص و معمولی در مدل کردن کلر آب زیرزمینی

مصطفومه دلبیری<sup>۱</sup> و پیمان افراصیاب<sup>۲</sup>

۱. دانشیار، گروه مهندسی آب، دانشکده آب و خاک، دانشگاه زابل، زابل

P\_afraasiab@yahoo.com

۲. استادیار، گروه مهندسی آب، دانشکده آب و خاک، دانشگاه زابل، زابل

تاریخ پذیرش مقاله: ۱۳۹۳/۲/۲۲

تاریخ وصول مقاله: ۱۳۹۲/۱۰/۰۲

### چکیده

از معمول ترین مشکلات مرتبط با کیفیت آب در کشاورزی، سمیت ناشی از کلر است. لذا برآورد صحیح میزان کلر و تهیه نقشه‌های احتمال آن بسیار حائز اهمیت است. تخمین گر زمین‌آماری کریجینگ شاخص (IK) نه تنها مستقل از شیوه توزیع داده‌هاست بلکه قادر به مدل کردن میزان قطعی نبودن تخمین نیز است. در این مطالعه کاربرد IK برای تخمین و به خصوص ارزیابی خطای تخمین مقدار کلر آب زیرزمینی به صورت مقایسه‌ای با کریجینگ معمولی (OK) و لاغ کریجینگ (LOK) بیان شده است. نقشه‌های احتمال کلر برای حدود آستانه ۱۰ و ۲۰ میلی‌اکی‌والان بر لیتر با استفاده از IK تهیه شده است. داده‌های کلر مربوط به ۷۶ حلقه چاه آب کشاورزی در دشت کرمان است. نتایج آنالیز نیم‌تغییرنما نشان داد که داده‌های کلر و لگاریتم آن‌ها با مدل ساختار مکانی کروی و شعاع تأثیر به ترتیب برابر با ۴۲ و ۷۲ کیلومتر همبستگی مکانی قوی دارند. همچنین، داده‌های کلر دارای همبستگی مکانی داخل کلاس متوسط تا قوی هستند و نیم‌تغییرنماهای شاخص به طور عمده از مدل کروی پیروی می‌کنند. نتایج ارزیابی متقابل نشان داد که روش LOK دارای دقت بیشتری نسبت به روش IK در برآورد مقادیر کلر است. از طرفی واریانس شرطی IK ابزار مناسب‌تری برای ارزیابی خطای تخمین کلر نسبت به واریانس OK و LOK تشخیص داده شد. نقشه‌های احتمال کلر نشان دادند که احتمال تجاوز مقدار کلر از حدود آستانه ۱۰ و ۲۰ میلی‌اکی‌والان بر لیتر در نواحی شمال غرب و غرب منطقه بیشتر است. نقشه‌های احتمال در بسیاری از فرایندهای تصمیم‌گیری از جمله مدیریت منابع آب و به حدائق رساندن ریسک آلودگی منابع ابزار سودمندی به شمار می‌روند.

### کلیدواژه

سمیت کلر، قطعی نبودن تخمین، کریجینگ شاخص، نقشه احتمال، واریانس تخمین.

۱. سرآغاز  
مصطفومه دلبیری (and Westcot, 1989)

ناشی از یون کلر (Cl<sup>-</sup>) در آب آبیاری است. کلر به وسیله خاک جذب یا نگه داشته نمی‌شود بنابراین، به راحتی با آب و خاک حرکت می‌کند و به وسیله گیاه جذب می‌شود و در جریان تعرق در برگ‌ها تجمع می‌یابد. اگر غلظت کلر در برگ‌ها از حد قابل تحمل گیاه فراتر رود سبب بروز خسارات زیادی از جمله برگ‌سوختگی یا خشک شدن بافت برگ می‌شود (Ayers and Westcot, 1989).

نوع و مقدار نمک‌های محلول در آب سبب تغییر کیفیت آن برای آبیاری می‌شود. منشأ این نمک‌ها می‌تواند هوازدگی یا انحلال سنگ‌های مادری و خاک شامل انحلال آهک و گچ، هرزآب‌های صنایع و چاههای نفت و زه‌آب‌های زهکشی باشد. از جمله مهم‌ترین مشکلات مرتبط با کیفیت آب در کشاورزی فاریاب، شوری، شدت نفوذ آب به خاک و سمیت یون‌های خاص است (Ayers

اعتماد را برای هر زیرمجموعه فراهم کند. روش دیگر این است که داده‌ها را به وسیله یک تابع تبدیل مناسب به اعدادی با توزیع نرمال یا نزدیک به نرمال تبدیل کرد. از جمله متدالول ترین تبدیل‌ها تبدیل لگاریتمی است که برای داده‌هایی با هیستوگرام دارای چولگی مثبت به کار می‌رود (Saito and Goovaerts, 2000). با وجود این، عمومی‌ترین راه، استفاده از روش کریجینگ شاخص است که برخلاف معمولی هیچ فرضی راجع به نرمال‌بودن توزیع داده‌ها در نظر نمی‌گیرد و لزوماً همتای غیرپارامتری کریجینگ معمولی محسوب می‌شود (Journel, 1983). با این اوصاف، کریجینگ شاخص قابلیت فائق‌آمدن بر هر دو مسئله پارامتری‌بودن و اثر هموارسازی کریجینگ معمولی را دارد (Journel, 1983). از دیگر ویژگی‌های کریجینگ شاخص، حفظ پوند بین مقادیر حداقل و حداکثر در سطوح برآورده شده است (Goovaerts, 1997).

به رغم کاربرد اصلی زمین‌آمار برای پنهان‌بندی خصوصیات مختلف در علوم آب و خاک، این شاخه از علم به طور فزاینده‌ای برای ارزیابی قطعی‌بودن تخمین استفاده می‌شود (Goovaerts, 2001). از جمله ویژگی‌های خاص کریجینگ معمولی (ولگاریتم آن) فراهم‌کردن واریانس تخمین در هر نقطه از شبکه تخمین است که معیاری از میزان اطمینان در سطح برآورده شده را ارائه می‌دهد. از کاربردهای واریانس کریجینگ می‌توان تعیین بهترین شبکه نمونه‌برداری با مقایسه دامنه‌ای از فواصل نمونه‌گیری و حداکثر واریانس کریجینگ مربوط به هر یک McBratney and Webster, 1981; اشاره کرد (McBratney et al., 1981; Lloyd and Atkinson, 1999). با وجود این، واریانس تخمین کریجینگ مستقل از مقادیر داده‌های متغیر است و فقط به موقعیت قرارگیری داده‌ها و پارامترهای مدل نیم‌تغییرنما بستگی دارد (Lloyd and Atkinson, 1999). بنابراین، به جز در شرایط همگنی واریانس<sup>۴</sup> و نرمال‌بودن توزیع خطاهای تخمین، کریجینگ معمولی (یا لوگ نرمال کریجینگ) قادر به ارائه تصویر قابل

کل آب زیرزمینی با در دسترس‌بودن تعداد محدودی داده اندازه‌گیری شده کلر، نیازمند به کارگیری برخی روش‌های میان‌یابی است. کریجینگ<sup>۱</sup> یک تخمین‌گر میانگین وزنی است که در آن، وزن‌ها بر اساس مدل برآورده شده به یک تابع مانند نیم‌تغییرنما<sup>۲</sup> که تغییرات مکانی متغیر را بیان می‌کند، تعیین می‌شوند. کریجینگ معمولی که به آن بهترین تخمین‌گر خطی نالاریب (BLUE)<sup>۳</sup> نیز می‌گویند (Journel and Huijbergs, 1978) که در علوم مختلف از جمله خاک و آب کاربرد زیادی دارد (Burgess and Webster, 1980). در ایران نیز در مطالعات متعددی از نیم‌تغییرنما و تخمین‌گر کریجینگ معمولی به ترتیب برای بررسی تغییرات مکانی و میان‌یابی خصوصیات کیفی آب زیرزمینی استفاده شده است (دلبری و همکاران، ۱۳۸۹؛ رضایی و همکاران، ۱۳۸۹؛ حشمی و بیگی‌هرچگانی، ۱۳۹۱). با وجود این، کریجینگ معمولی مانند هر تخمین‌گر خطی دیگر مثل روش وزن‌دهی معکوس فاصله به هموارسازی جزئیات تمایل دارد و قادر به بازتولید الگوی واقعی توزیع مکانی داده‌ها نیست. بنابراین، استفاده از روش کریجینگ معمولی برای متغیرهایی با توزیع فراوانی دارای چولگی زیاد توصیه نمی‌شود. از طرف دیگر، بسیاری از خصوصیات خاک در علوم زمینی به علت تعداد اندکی مقادیر بسیار بزرگ یا کوچک در بین مقادیر آن‌ها، از توزیع نرمال تبعیت نمی‌کنند. این مقادیر کوچک یا بزرگ ممکن است خلاصه آماری متغیر مانند میانگین، واریانس یا شاخص‌های اندازه‌گیری همیستگی مکانی (مثل نیم‌تغییرنما) را تحت تأثیر قرار دهند. روش‌های مختلفی برای از بین بردن یا تعديل اثر نامطلوب این مقادیر وجود دارد (Goovaerts, 1997). راه اول این است که مقادیر پرت از مجموعه اعداد حذف شوند، البته به شرطی که نادرست‌بودن آن‌ها آشکار شده باشد. راه دوم این است که این دسته از اعداد را تحت یک جامعه آماری جدا مطالعه کرد البته به شرطی که تراکم داده‌ها به حدی باشد که اجازه استخراج آماره‌های قابل

الکتریکی استفاده شد (Dash et al., 2010). Piccini و همکاران (۲۰۱۲) نیز از روش کریجینگ شاخص برای تهیه نقشه‌های احتمال نیترات آب زیرزمینی در دشت فوچینو در مرکز ایتالیا استفاده کردند. آن‌ها بیان کردند که این نقشه‌ها می‌توانند برای مشخص کردن مناطق مستعد به آلودگی نیترات آب زیرزمینی ابزار سودمندی باشند.

روش کریجینگ شاخص به خصوص از لحاظ توانایی آن در مدل کردن قطعی نبودن تخمین در دنیا مورد توجه زیادی قرار گرفته، اما در ایران کمتر مورد توجه متخصصان بوده است. بنابراین، هدف از این تحقیق علاوه بر فراهم کردن مختصراً از مبانی تئوری روش کریجینگ شاخص، مقایسه آن با روش‌های کریجینگ معمولی و لاغ کریجینگ برای پنهان‌بندی و به‌ویژه ارزیابی میزان قطعی نبودن تخمین کل آب زیرزمینی در منطقه دشت کرمان است. همچنین، نقشه‌های احتمال کلر نیز با استفاده از روش کریجینگ شاخص محاسبه و ارائه می‌شوند. این نقشه‌ها در فرایندهای تصمیم‌گیری مانند تعیین مناطق با ریسک بیشتر سمیت کلر ابزار سودمندی به شمار می‌روند.

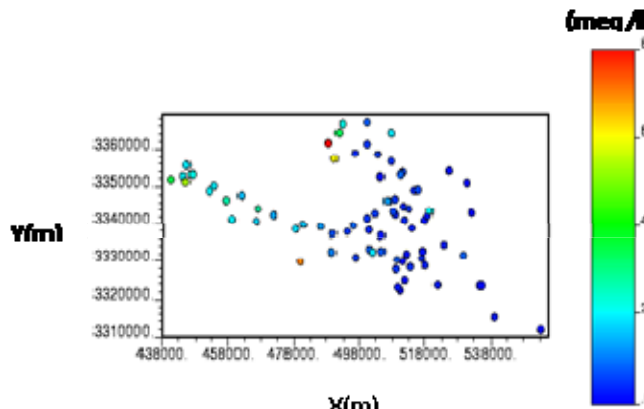
## ۲. مواد و روش‌ها

### ۲.۱. موقعیت جغرافیایی منطقه مورد مطالعه و داده‌های استفاده شده

این مطالعه در منطقه‌ای از دشت کرمان که از لحاظ موقعیت جغرافیایی بین عرض‌های  $۳۰^{\circ} ۳۰' \text{ و } ۳۰^{\circ} ۱۵'$  شمالی و طول‌های  $۵۷^{\circ} ۰۰' \text{ و } ۵۷^{\circ} ۱۵'$  شرقی قرار دارد، صورت گرفته است. سطح مورد مطالعه از لحاظ آب و هوایی در منطقه خشک و نیمه‌خشک قرار گرفته است. متوسط ارتفاع دشت از سطح دریا  $۱۷۵۵$  متر است. به علت کمبود منابع آب سطحی، بخش عمده آب مورد نیاز کشاورزی از منابع آب زیرزمینی به ویژه آب چاه‌ها تأمین می‌شود. با توجه به اهمیتی که کیفیت آب آبیاری از جمله یون کلر در میزان عملکرد گیاه دارد، تغییرات مکانی میزان کل آب زیرزمینی در سال  $۱۳۸۷$  بررسی شد.

قبولی از قطعی نبودن سطح برآورده شده نیست (Goovaerts, 1997). در مقابل، کریجینگ شاخص می‌تواند برای مدل کردن قطعی نبودن تخمین با در نظر گرفتن مقادیر داده‌های واقعی علاوه بر موقعیت قرارگیری آن‌ها به کار رود. در واقع به جای برآورد فقط یک مقدار به منزله قطعی نبودن تخمین متغیر در یک نقطه نمونه برداری نشده، کریجینگ شاخص یکتابع توزیع تجمعی شرطی<sup>۵</sup> (ccdf) متناظر با هر نقطه شبکه تخمین را برآورد می‌کند. برای این کار در این روش ابتدا متغیر مورد مطالعه به دو  $0$  و  $1$  بر اساس یک سری حدود آستانه<sup>۶</sup> معلوم تبدیل می‌شود. سپس، ccdf در هر نقطه از شبکه بر اساس رفتار و ساختار همبستگی داده‌های کدبندی شده در همسایگی نقطه مزبور تقریب زده می‌شود (Journel, 1983). به دست‌آمده برای تولید نقشه‌های تخمین و مهم‌تر از آن ابزارهای ارزیابی میزان قطعی نبودن تخمین مانند نقشه‌های احتمال که در بسیاری از فرایندهای تصمیم‌گیری استفاده می‌شوند، به کار می‌روند (Goovaerts et al., 1997; Mohammadi et al., 1997; Dammer et al., 1999; van Meirvenne and Goovaerts, 2001; Delbari, 2007).

Jang و همکاران (۲۰۰۸) و Jang (۲۰۱۲) برای ارزیابی کیفیت آب زیرزمینی از نظر مناسب بودن برای آبیاری از روش کریجینگ شاخص چندمتغیره استفاده کردند. Adhikary و همکاران (۲۰۱۰) روش‌های کریجینگ معمولی و شاخص را برای تهیه نقشه‌های پارامترهای کیفی آب زیرزمینی از جمله کلراید به کار برداشتند. آن‌ها گزارش کردند که کریجینگ شاخص، روش سودمندی برای ارزیابی ریسک آلودگی آب زیرزمینی از طریق فراهم کردن نقشه‌های احتمال است. Adhikary و همکاران (۲۰۱۱) همچنین از روش‌های کریجینگ شاخص و احتمال برای ایجاد نقشه‌های احتمال فلزات سنگین در آب زیرزمینی در منطقه نجفگر در دهلی هند استفاده کردند. در پژوهش دیگری روش کریجینگ شاخص برای مدل کردن قطعی نبودن تخمین از طریق تولید نقشه‌های احتمال پارامترهای کیفی آب زیرزمینی مانند کلر و هدایت



شکل ۱. موقعیت محل‌های اندازه‌گیری کلر آب زیرزمینی و توزیع مقادیر اندازه‌گیری شده کلر در سطح منطقه

در این معادله،  $(x_0)$  مقدار تخمین‌زده شده  $Z$  در موقعیت  $x_0$  وزن نسبت داده شده به متغیر  $Z$  در نقطه  $x_i$  و  $\lambda_i$  وزن نسبت داده شده به متغیر  $Z$  در نقطه  $x_i$  است. جمع وزن‌های  $n$  تعداد نقاط همسایگی است. جمع وزن‌های اختصاص‌داده شده به مقادیر معلوم  $(\lambda_i)$ ، بایستی برابر واحد شود. همچنین، محاسبه اوزان بایستی به گونه‌ای باشد که حداقل واریانس کریجینگ فراهم شود.

$$\begin{cases} \sum_{j=1}^n \lambda_j \gamma(x_i, x_j) + \mu = \gamma(x_i, x_i), & i = 1, \dots, n \\ \sum_{j=1}^n \lambda_j = 1 \end{cases}$$

رابطه (۲)

که در اینجا  $(x_i, x_j)$  مقدار نیم‌تغییرنما بین تمام جفت مقادیر معلوم،  $\mu$  ضریب لاگرانژین برای به حداقل رساندن واریانس کریجینگ و  $(x_i, x_0)$  نیم‌تغییرنما بین موقعیت مورد تخمین  $(x_0)$  و آامین نقطه نمونه‌برداری شده است. با فرض  $N(h)$  جفت نقطه که به فاصله  $h$  از یکدیگر قرار گرفته‌اند، نیم‌تغییرنما تجربی<sup>۷</sup> متناظر با آن،  $(h)^*$  از فرمول زیر محاسبه می‌شود.

$$\gamma^*(h) = \frac{1}{2N(h)} \sum_{i=1}^{N(h)} \{Z(x_i) - Z(x_i + h)\}$$

رابطه (۳)

که در آن  $Z(x_i)$  و  $Z(x_i + h)$  به ترتیب مقدار مشاهده شده متغیر در نقاط  $x_i$  و  $x_i + h$  به شمار می‌روند.

واریانس کریجینگ در نقطه  $x_0$  عبارت است از:

برای این منظور از ۷۶ حلقه چاه مشاهده‌ای که در سطح دشت کرمان پراکنده بودند (شکل ۱)، نمونه‌برداری آب صورت گرفت. خصوصیات کیفی آب از جمله کلر از تجزیه شیمیابی نمونه‌های آب زیرزمینی در آزمایشگاه اندازه‌گیری شدند. آستانه تحمل گیاهان مختلف به میزان غلظت یون کلر متفاوت است، اما به طور کلی برای گیاهان حساس، ماکزیمم غلظت قابل قبول کلر آب طبق راهنمای تفسیر کیفیت آب آبیاری ارائه شده از سوی Ayers و Westcot در سال ۱۹۸۹، ۱۰ میلی‌اکی‌والان بر لیتر است. بنابراین، در این مطالعه از حد آستانه ۱۰ و ۲۰ میلی‌اکی‌والان بر لیتر برای تولید نقشه احتمال سمتیت یون کلر استفاده می‌شود. نقشه ریسک یا احتمال نقشه‌ای است که در آن احتمال اینکه میزان غلظت کلر آب زیرزمینی در هر نقطه از سطح مورد مطالعه از آستانه (۱۰ یا ۲۰ میلی‌اکی‌والان بر لیتر) بیشتر باشد، ارائه می‌شود.

## ۲. کریجینگ معمولی

در روش کریجینگ معمولی (OK) مقدار متغیر در هر نقطه نمونه‌برداری نشده با استفاده از یک متوسط‌گیری متحرک وزنی خطی مقادیر اندازه‌گیری شده در همسایگی نقطه مورد نظر تخمین زده می‌شود (Isaaks and Srivastava, 1989:).

$$Z^*(x_0) = \sum_{i=1}^n \lambda_i \cdot Z(x_i)$$

رابطه (۱)

ج)تابع توزیع تجمعی شرطی (ccdf) در هر نقطه نمونه برداری نشده مانند نقطه  $(x_0)$  با استفاده از پارامترهای مدل‌های نیم‌تغییرنماهای شاخص با روش کریجینگ معمولی برآورده شود.

$$F(x_i; z_k | (n)) = I^*(x_i; z_k) = \sum_{i=1}^n \lambda_i I(x_i; z_k)$$

رابطه (۷)

که در آن  $(x_0; z_k)^*$  مقدار برآورده شاخص  $I$  در نقطه  $x_0$  و  $\lambda_i$  مقدار وزن نسبت داده شده به مقدار شاخص  $I$  در نقطه  $x_i$  واقع در همسایگی نقطه مورد تخمین است. علامت  $(n)$  به معنی مشروط به داده‌های مشاهده شده است.

توابع احتمال منفصل برآورده شده بایستی بین هر دو قسمت ccdf درون‌یابی و در ماورای حداقل و حداکثر مقادیر، برونویابی شوند تا تابع توزیع تجمعی پیوسته‌ای که دربر گیرنده تمام دامنه اعداد محتمل متغیر مورد نظر باشد، فراهم شود. ccdf‌های برآورده شده از طریق روش کریجینگ شاخص به طور مستقیم با تخمین‌های حاصله از انواع دیگر روش‌های کریجینگ مانند کریجینگ معمولی قابل مقایسه نیستند بلکه لازم است تا روی این ccdf‌ها فرایندهای ثانوی انجام شود تا تخمین‌های نوع  $E$ <sup>۱</sup> که با تخمین‌های کریجینگ معمولی قابل مقایسه‌اند، حاصل شوند. همچنین، در این مرحله معیارهای ارزیابی میزان قطعی نبودن تخمین از جمله واریانس شرطی<sup>۲</sup> کریجینگ شاخص و احتمال بیشتر یا کمتر از حد آستانه داده شده، قابل محاسبه‌اند.

در عمل گاهی از کریجینگ شاخص میانه<sup>۳</sup> به جای کریجینگ شاخص (کامل) استفاده می‌شود. کریجینگ شاخص میانه در واقع نوع ساده‌شده‌ای از کریجینگ شاخص است که در آن فرض می‌شود پیوستگی مکانی شاخص‌ها در حدود مختلف، برابر پیوستگی مکانی شاخص‌های مربوط به حدی است که متناظر با میانه توزیع فراوانی داده‌های متغیر است. در این تحقیق از هر دو روش کریجینگ شاخص کامل و میانه استفاده شده است.

$$\sigma^*(x_i) = \sum_{i=1}^n \lambda_i \gamma(x_i, x_i) + \mu \quad \text{رابطه (۴)}$$

با داشتن واریانس (یا انحراف معیار) کریجینگ و با فرض توزیع نرمال برای خطاهای کریجینگ، دامنه اطمینان مقادیر تخمین‌زده شده در سطوح اعتماد مختلف قابل محاسبه است (Goovaerts, 1997).

### ۳.۲ کریجینگ شاخص

همان‌طور که پیش‌تر ذکر شد کریجینگ شاخص (IK) با استفاده از مقادیر اندازه‌گیری شده متغیر در همسایگی نقطه مورد برآورده، احتمال مقادیر متغیر را که بالاتر از حد آستانه معلوم است تعیین می‌کند. مراحل اجرای روش کریجینگ شاخص به اختصار در زیر آمده است. جزئیات بیشتر در منابع مختلف از جمله Goovaerts (1997)، Deutsch و Journel (1998) و Goovaerts (2009) آمده است.

الف) مقادیر متغیر بر اساس حد یا حدود آستانه داده شده به مقادیر شاخص تبدیل می‌شوند. بدین ترتیب که به مقادیر اصلی اگر از حد آستانه کوچک‌تر باشند، کد ۱ و اگر بزرگ‌تر باشند، کد صفر تعلق می‌گیرد.

$$I(x_i; z_k) = \begin{cases} 1 & \text{if } Z(x_i) \leq z_k \\ 0 & \text{otherwise} \end{cases} \quad k = 1, \dots, K \quad \text{رابطه (۵)}$$

که در آن  $I(x_i; z_k)$  متغیر شاخص،  $z_k$  حد آستانه و  $K$  تعداد کل آستانه‌های است. مقادیر آستانه‌ها بایستی بین حداقل و حداکثر مقادیر واقعی متغیر مورد نظر قرار گیرند. از متداول‌ترین روش‌ها برای انتخاب آستانه‌ها که در این مطالعه نیز دنبال شده، انتخاب آن‌ها بر اساس دهه‌های توزیع فراوانی داده‌های متغیر است.

ب) نیم‌تغییرنمای تجربی داده‌های تبدیل یافته مربوط به هر حد آستانه مطابق زیر محاسبه و بهترین مدل تنوری بر آن برآذش می‌شود.

$$\gamma_I^*(h) = \frac{1}{2N(h)} \sum_{i=1}^{N(h)} [I(x_i; z_k) - I(x_i + h; z_k)]^2 \quad \text{رابطه (۶)}$$

## ۴. نتایج و بحث

### ۴.۱. آنالیز آماری و زمین‌آماری

هیستوگرام فراوانی و خلاصه آماری داده‌های کلر آب زیرزمینی (با و بدون در نظر گرفتن لگاریتم داده‌ها) در شکل ۲ ارائه شده است. همان‌طور که از شکل توزیع فراوانی پیداست، داده‌های کلر چولگی مثبت و ضریب تغییرات بالایی دارند. با گرفتن لگاریتم از داده‌های خام، توزیع داده‌ها تقریباً نرمال (ضریب چولگی بسیار کاهش یافته است) و ضریب تغییرات نیز کمتر شده است. از طرفی، در این حالت مقدار میانگین به میانه بسیار نزدیک شده است. این نتایج حاکی از آن است که میزان کلر به صورت لوگ نرمال در سطح مورد مطالعه توزیع شده است.

برای بررسی همبستگی مکانی داده‌های کلر، نیم‌تغییرنماهای تجربی داده‌های خام و لگاریتمی شده محاسبه و بهترین مدل تئوری برای استفاده در دستگاه کریجینگ بر آن‌ها برآش داده شد (شکل ۳). شایان یادآوری است که رسم نیم‌تغییرنماهای کلر در چندین جهت مختلف نشان داد که در تغییرات جهت‌دار پیوستگی مکانی وجود ندارد. مشخصات مدل برآش شده بر نیم‌تغییرنماهای همسان‌گرد کلر در جدول ۱ ارائه شده است. نسبت کم اثر قطعه‌ای به آستانه نیم‌تغییرنما (جدول ۱ و شکل ۳) نشان می‌دهد که داده‌های کلر و لگاریتم آن‌ها در سطح مورد مطالعه همبستگی مکانی بالایی دارند. با این حال نیم‌تغییرنماهای داده‌های تبدیل یافته دارای نوسانات کمتر و شعاع همبستگی بالاتری است. بنابراین، به نظر می‌رسد استفاده از روش لوگ نرمال کریجینگ سبب بهبود تخمین کلر شود. از طرف دیگر، مدل ساختار مکانی داده‌های کلر و لگاریتم آن‌ها هر دو از مدل کروی تبعیت می‌کنند. برای اجرای روش کریجینگ شاخص ۹ آستانه ۱/۳، ۵، ۴/۴، ۳/۴، ۲/۴، ۷/۴ و ۱۲/۷ (meq/lit) به ترتیب متناظر با ۱۰، ۲۰، ۳۰، ۴۰، ۵۰، ۶۰، ۷۰، ۸۰ و ۹۰ درصد توزیع تجمعی داده‌های کلر انتخاب شدند.

در این مطالعه برای محاسبه نیم‌تغییرنماهای (شاخص) تجربی و برآش مدل تئوری نیم‌تغییرنما از نرم‌افزار GS+ (Robertson, 2000) استفاده شد. اجرای روش‌های کریجینگ و تهیه نقشه‌ها با استفاده از نرم‌افزار GSLIB (Deutsch and Journel, 1998) انجام شد.

### ۳. ارزیابی نتایج تخمین

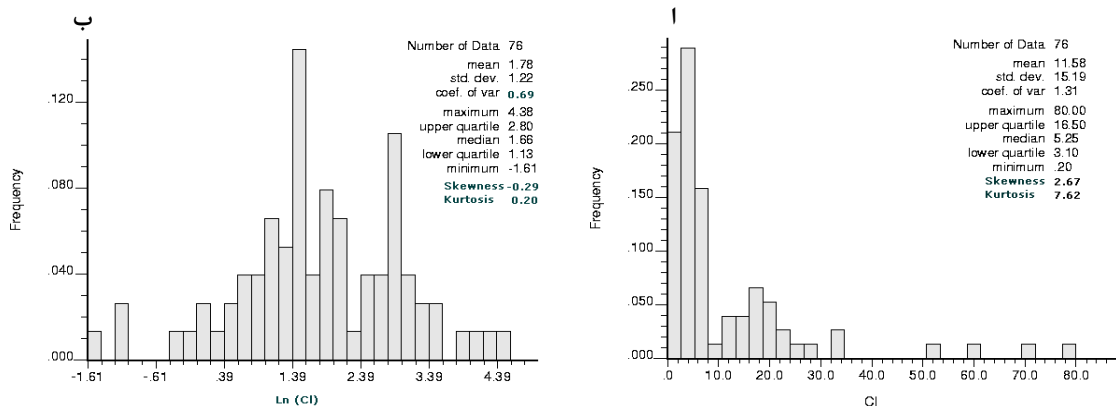
روش ارزیابی استفاده شده در این مطالعه ارزیابی مقابله<sup>۱۱</sup> (Isaaks and Srivastava, 1989) است. در این روش مقادیر مشاهده شده متغیر مورد مطالعه ( $Z(x_i)$ )، یکی یکی از مجموعه مشاهدات حذف و هر بار روش کریجینگ با استفاده از داده‌های باقی‌مانده اجرا می‌شود تا مقداری برای عدد حذف شده برآورد شود ( $Z^*(x_i)$ ). در نهایت مقادیر واقعی با مقادیر تخمین‌زده شده متناظر با خود مقایسه می‌شوند. برای مقایسه، سه معیار مختلف متوسط خطای (ME)<sup>۱۲</sup>، متوسط قدر مطلق خطای (MAE)<sup>۱۳</sup> و جذر میانگین مربعات خطای (RMSE)<sup>۱۴</sup> استفاده شد (Srivastava, 1989).

$$ME = \frac{1}{n} \sum_{i=1}^n (Z^*(x_i) - Z(x_i)) \quad \text{رابطه (۸)}$$

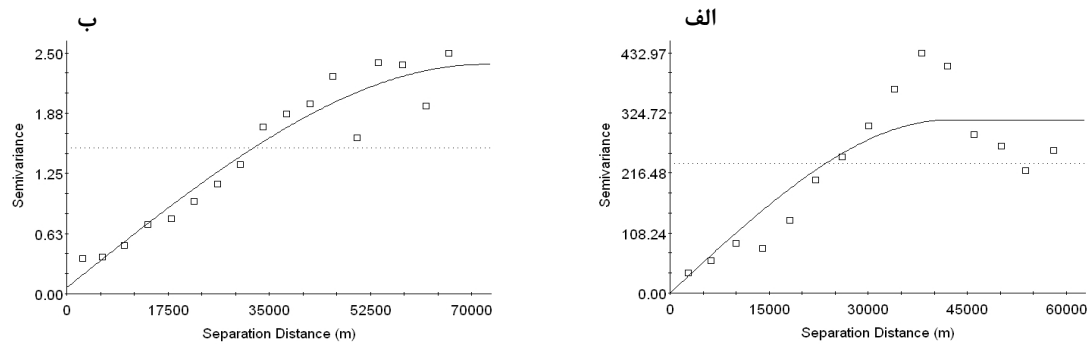
$$MAE = \frac{1}{n} \sum_{i=1}^n |Z^*(x_i) - Z(x_i)| \quad \text{رابطه (۹)}$$

$$RMSE = \sqrt{\frac{(Z^*(x_i) - Z(x_i))^2}{n}} \quad \text{رابطه (۱۰)}$$

در معادلات بالا،  $n$  عبارت از تعداد داده‌های استفاده شده است. این سه معیار اطلاعات مختلفی راجع به درجه اعتبار نتایج تخمین فراهم می‌کنند. ME متوسط انحراف روش را نشان می‌دهد و البته نباید به تنها یکی از منزله شاخصی از دقت روش به کار رود، زیرا مقادیر مثبت و منفی یکدیگر را ختی می‌کنند. MAE مقدار خطای روش را نشان می‌دهد. RMSE مقدار انحراف میانگین و واریانس را نشان می‌دهد. به طور کلی بهترین روش آن است که کمترین مقدار ME (بدون در نظر گرفتن علامت)، MAE و RMSE را داشته باشد.



شکل ۲. هیستوگرام فراوانی داده‌های کلر (meq/lit) (الف) بدون لگاریتم و (ب) با لگاریتم داده‌ها



شکل ۳. نیم‌تغییرنمای تجربی همسان‌گرد (مربع توخالی) و مدل تئوری برآشش شده (خط ممتد) با داده‌های خام (الف) و با داده‌های لگاریتمی شده (ب) کلر (meq/lit)

جدول ۱. مشخصات مدل‌های برآشش داده شده بر نیم‌تغییرنماهای (شاخص) تجربی کلر (meq/lit)

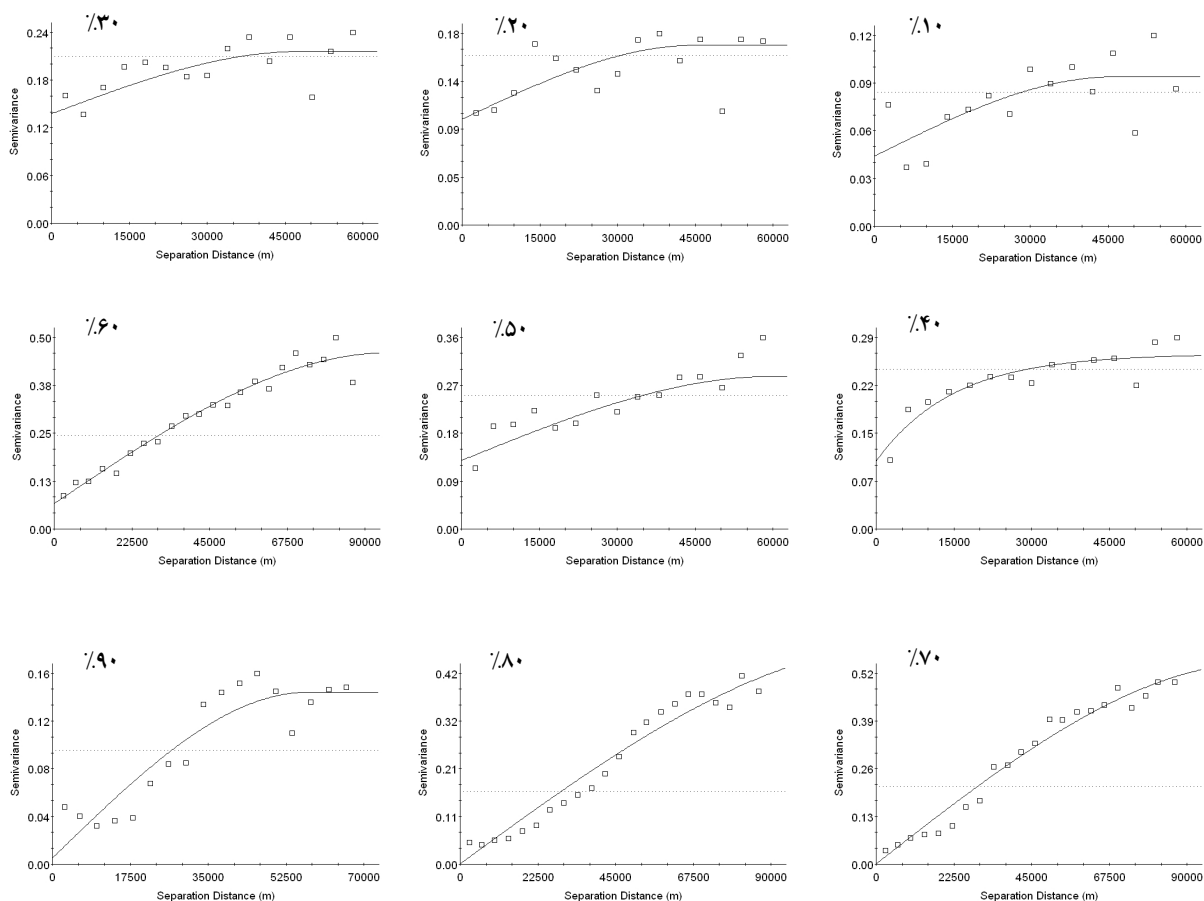
متغیر	مدل ساختار مکانی	اثر قطعه‌ای آستانه	شعاع تأثیر (متر)	$\times 100 \left( \frac{C_0}{C_0 + C} \right)$	همبستگی مکانی	* <sup>r</sup>	**RSS
Cl <sup>-</sup>	کروی	۰/۱	۴۲۴۰۰	۰/۰۳	قوی	۰/۷۶۵	۵۴۴۷۳
ln Cl <sup>-</sup>	کروی	۰/۰۶۴۰	۷۲۲۰۰	۲/۶۸	قوی	۰/۹۲۵	۰/۶۶۹
%۱۰	کروی	۰/۰۴۴۳	۴۶۲۰۰	۴۶/۸۳	متوسط	۰/۰۴۴۹	۰/۰۰۴۲
%۲۰	کروی	۰/۱	۴۵۰۰۰	۵۸/۸۲	متوسط	۰/۰۳۵۶	۰/۰۰۷۴
%۳۰	کروی	۰/۱۴	۴۸۰۰۰	۶۳/۶۴	متوسط	۰/۰۴۷۴	۰/۰۰۷۵
%۴۰	نمایی	۰/۱۰۴۱	۴۵۰۰۰	۳۸/۸۱	متوسط	۰/۰۸۲۸	۰/۰۰۵
%۵۰	کروی	۰/۱۳	۶۰۰۰۰	۴۴/۸۳	متوسط	۰/۰۷۸۹	۰/۰۱۴
%۶۰	کروی	۰/۰۶۶	۹۷۱۰۰	۱۴/۳۵	متوسط	۰/۰۹۶	۰/۰۱۲۷
%۷۰	کروی	۰/۰۰۱	۱۱۱۷۰۰	۰/۱۸	قوی	۰/۰۹۷۱	۰/۰۱۷۴
%۸۰	کروی	۰/۰۰۱	۱۳۰۰۰۰	۰/۲۱	قوی	۰/۰۹۵۷	۰/۰۱۶۸
%۹۰	کروی	۰/۰۰۵۱	۵۷۰۰۰	۳/۵۴	قوی	۰/۰۸۳۲	۰/۰۰۶۳

\*<sup>r</sup>: ضریب همبستگی  
\*\*RSS: مجدد مربعات باقیمانده

#### ۴.۲. تخمین و ارزیابی قطعی نبودن تخمین

نتایج ارزیابی متقابل تخمین کلر آب زیرزمینی با استفاده از روش‌های کریجینگ معمولی، لوگ نرمال کریجینگ، کریجینگ شاخص میانه (در آن فقط حد آستانه متناظر با درصد داده‌های کلر در نظر گرفته شده است) و شاخص کامل در جدول ۲ ارائه شده است. بر اساس این نتایج روش لوگ نرمال کریجینگ با داشتن کمترین مقدار MAE و RMSE و بیشترین ضریب همبستگی بین داده‌های واقعی و برآورده شده ( $R$ )، بهترین روش تخمین میزان کلر آب زیرزمینی محسوب می‌شود.

سپس، مقادیر کدبندی شده کلر متناظر با هر آستانه با توجه به فرمول ۵ تعیین و نیم‌تغییرنمای تجربی مربوط به هر یک محاسبه شد. پس از آن بهترین مدل از لحاظ دارای بودن بالاترین مقدار  $r^2$  و کمترین مقدار RSS بر نقاط نیم‌تغییرنما برآذش شد (شکل ۴). مشخصات مدل‌های برآذش شده بر نیم‌تغییرنماهای شاخص در جدول ۱ آمده است. نیم‌تغییرنماهای شاخص با پیروی کردن از مدل ساختار مکانی کروی، همبستگی مکانی داخل کلاس متوسط (برای آستانه‌های متناظر با ۱۰ تا ۵۰ درصد توزیع فراوانی تجمعی داده‌ها) تا بالایی (برای آستانه‌های متناظر با ۶۰ تا ۹۰ درصد توزیع فراوانی تجمعی داده‌ها) نشان دادند.



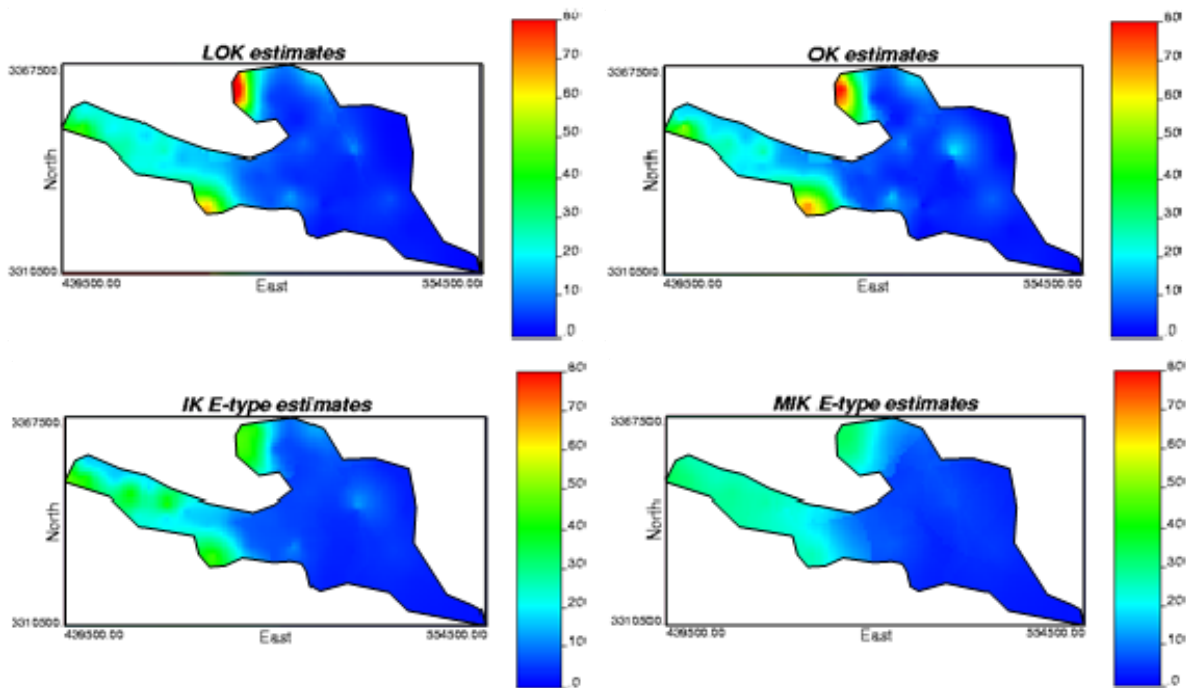
شکل ۴. نیم‌تغییرنماهای شاخص تجربی (مربع توخالی) و بهترین مدل تئوری برآذش شده (خط ممتدا) متناظر با آستانه‌های انتخاب شده

جدول ۲. نتایج ارزیابی متقابل تخمین کلر (meq/lit)

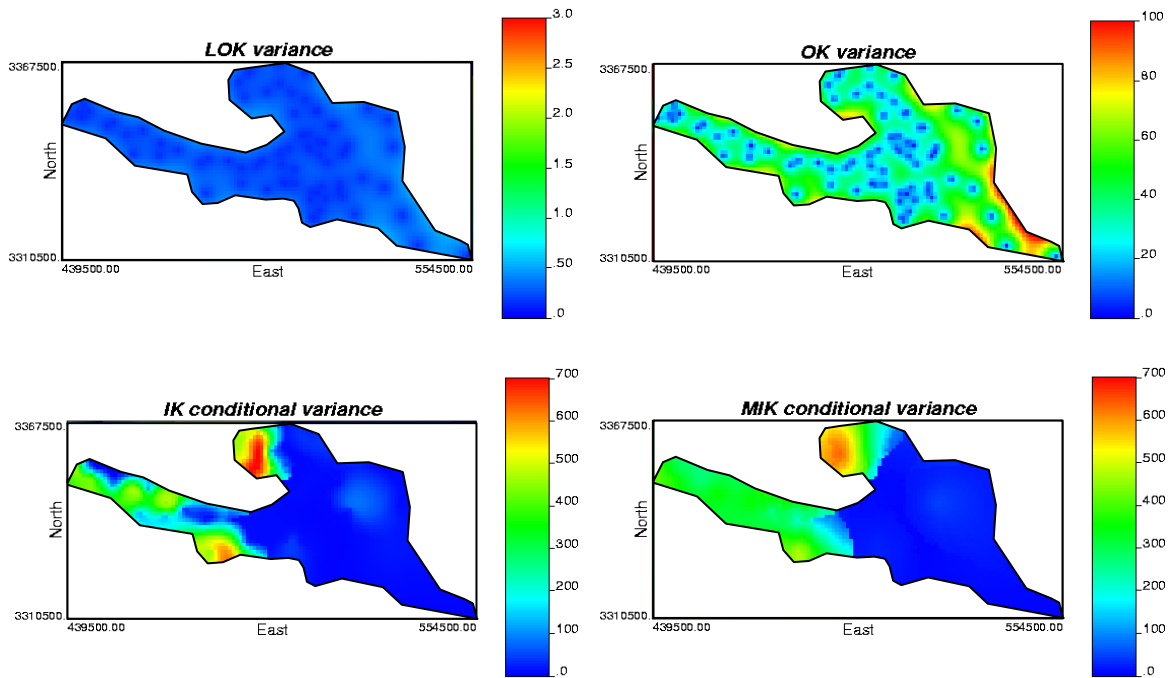
انحراف معیار مقادیر برآورده شده	میانگین مقادیر برآورده شده	R	RMSE	MAE	ME	روش میان یابی
۱۱/۰۶	۱۱/۰۷	۰/۷۳۶	۱۰/۲۹	۵/۷۳	-۰/۵۱	کریجینگ معمولی (OK)
۱۰/۹	۱۱/۱	۰/۷۵۷	۹/۹۶	۵/۵۵	-۰/۴۸	لاگ کریجینگ (LOK)
۹/۴۸	۱۱/۰۹	۰/۶۰۹	۱۲/۰۶	۶/۶۸	-۰/۴۹	کریجینگ شاخص میانه (MIK)
۱۱/۰۳	۱۱/۳۲	۰/۶۵۲	۱۱/۰۷	۶/۴۲	-۰/۲۶	کریجینگ شاخص کامل (IK)

در کنار مسئله تخمین، یکی از اهداف اصلی این تحقیق ارزیابی میزان قطعی نبودن داده های برآورده شده است. در این راستا برای هر مقدار کلر برآورده شده از طریق روش کریجینگ معمولی و لاگ کریجینگ در هر نقطه شبکه تخمین (شکل ۵)، واریانس مرتبط با آن نیز محاسبه شد (شکل ۶). مطالعه همزمان نقشه واریانس تخمین و نقشه تخمینی کلر معیاری از قطعی نبودن مقادیر برآورده شده را ارائه می دهد. بدین ترتیب هر جا واریانس (یا جذر آن انحراف معیار) کمتر باشد، مقدار کلر برآورده شده در آن نقطه از خطای کمتری برخوردار است. در مجموع هر دو روش کریجینگ معمولی و لاگ کریجینگ مقدار خطای تخمین را در محل مشاهدات و نزدیک آنها، کمتر و هر چه فاصله بیشتر می شود و در نقاط بدون آمار (مانند نواحی جنوب شرقی منطقه) بیشتر نشان می دهند. این نکته بار دیگر وابستگی واریانس کریجینگ را به موقعیت قرارگیری مشاهدات و نه مقدار واقعی آنها نشان می دهد. در مقابل نقشه های واریانس شرطی تولید شده به وسیله روش کریجینگ شاخص میانه و کامل (شکل ۶) وابستگی واریانس برآورده شده به مقادیر کلر را علاوه بر موقعیت جغرافیایی آنها نشان می دهند. برای مثال، مقایسه نقشه های واریانس شرطی تولید شده با نقشه موقعیت چاهه ها (شکل ۱) نشان می دهد واریانس تخمین در نقاطی که مقدار کلر اندازه گیری شده کم است، کمترین و در نواحی ای که مقادیر اندازه گیری شده بالاست و در محل تلاقی مقادیر کوچک و بزرگ، بیشترین است.

از طرفی مقایسه میانگین و انحراف معیار مقادیر برآورده شده (جدول ۲) نسبت به واقعی (شکل ۲) نشان می دهد تمامی روش ها ناریب (میانگین برآورده شده مشابه میانگین واقعی است) و همگی دارای خاصیت هموار سازی (انحراف معیار برآورده کمتر از همتای واقعی آن است) بودند. با این حال بر اساس جدول ۲، روش کریجینگ شاخص (کامل و میانه) بر خلاف انتظار از لحاظ دقت تخمین در رده های سوم و چهارم بعد از روش های لاگ کریجینگ و کریجینگ معمولی قرار گرفتند. یکی از دلایل احتمالی، نبود داده های کافی در برخی کلاس ها مانند کلاس مربوط به  $9^{\circ}$  درصد منحنی فراوانی داده ها است. در واقع هر چند کریجینگ شاخص به تعداد آستانه های زیادی برای تأمین دقت مطلوب نیاز دارد، با وجود تنها تعداد اندکی (در اینجا ۷۶) داده، به نظر می رسد انتخاب ۹ آستانه، انتظار بیش از حدی از داده ها بوده است. همچنین، روش استفاده شده برای میان یابی بین  $\text{ccdf}$  های مجزا که در این تحقیق میان یابی خطی بین باندهای جدول بندی شده <sup>۱۵</sup> (Deutsch and Journel, 1998) بوده است، نیز می تواند در دقت تخمین کریجینگ شاخص تأثیر گذارد در (Goovaerts, 2009). علت دیگر می تواند مربوط به روند افزایشی کلر از شرق به غرب منطقه باشد که اجازه استخراج نیم تغییر نمایه ای شاخص قابل اعتبار را نمی دهد (Lloyd and Atkinson, 1999) برآورده شده هر چهار روش در شکل ۵ نشان داده شده است.



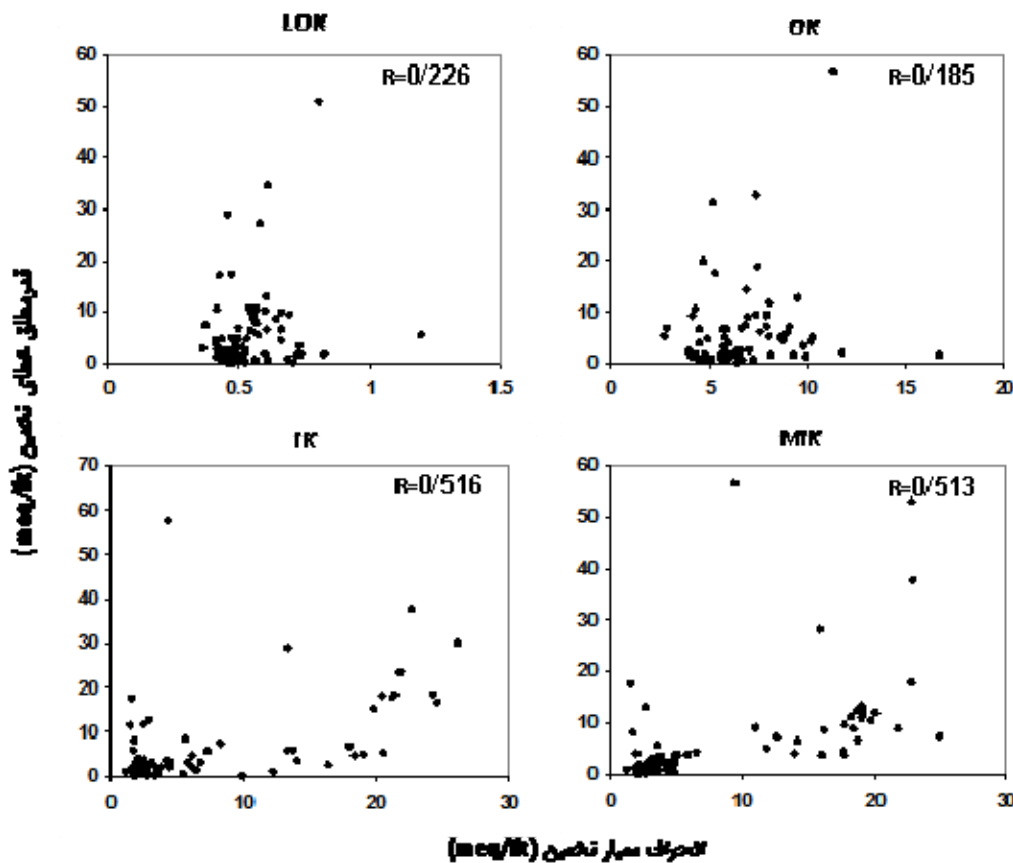
شکل ۵. نقشه‌های تخمین کلر (meq/lit) تهیه شده به وسیله انواع روش کریجینگ



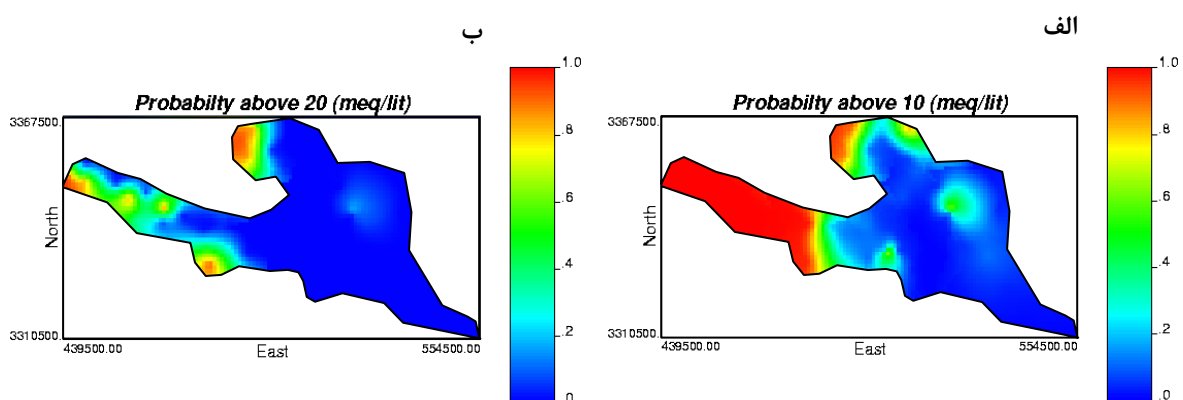
شکل ۶. نقشه‌های واریانس تخمین<sup>۲</sup> (meq/lit<sup>2</sup>) تهیه شده به وسیله انواع روش کریجینگ

بار دیگر ارتباط بیشتر (این ارتباط با محاسبه ضریب همبستگی R نشان داده شده است) این دو را در روش کریجینگ شاخص نسبت به روش‌های کریجینگ معمولی و لاغ کریجینگ بیان می‌کند.

بنابراین، به نظر می‌رسد واریانس شرطی کریجینگ شاخص معیار قابل اعتمادتری برای سنجش قطعی نبودن تخمین کلر باشد. از طرف دیگر، نمودار پراکنش قدر مطلق خطای تخمین (MAE) در مقابل انحراف معیار مرتبط به هر مقدار برآورده شده در روش ارزیابی متقابل (شکل ۷)،



شکل ۷. نمودار پراکنش انحراف معیار تخمین در مقابل خطای تخمین برای هر چهار روش بر اساس نتایج ارزیابی متقابل



شکل ۸. نقشه های احتمال کلر تهیه شده به وسیله روش کریجینگ شاخص (الف) احتمال بزرگ تر از (meq/lit) ۱۰ و (ب) احتمال بزرگ تر از (meq/lit) ۲۰

میلی اکی والان بر لیتر بیشتر باشد در نیمه غربی منطقه تقریباً صدرصد است و این احتمال در نیمه شرقی بسیار کم می شود. همچنین، احتمال بیشتر بودن مقدار کلر آب از حد ۲۰ میلی اکی والان بر لیتر در مناطق غربی بیش از مناطق

**۴.۳. نقشه احتمال کلر**  
با استفاده از روش کریجینگ شاخص (کامل)، نقشه های احتمال مربوط به دو حد آستانه ۱۰ و ۲۰ میلی اکی والان بر لیتر تهیه و در شکل ۸ نشان داده شده است. بر اساس شکل ۸ (الف) احتمال اینکه میزان کلر آب زیرزمینی از ۱۰

خطاهای تخمین حاصل از این روش بسیار بیشتر از همبستگی بین واریانس کریجینگ معمولی (و لاغ کریجینگ) با خطاهای تخمین مربوطه بود. بنابراین، واریانس کریجینگ شاخص می‌تواند به منزله ابزار قابل اعتمادتری برای سنجش میزان قطعی نبودن تخمین کلر به کار رود.

۳. ارائه نقشه‌های احتمال کلر که در فرایندهای تصمیم‌گیری مانند مدیریت منابع آب کارایی بسیاری دارند، از قابلیت‌های منحصر به فرد کریجینگ شاخص است. بنابراین، در مواردی که هدف مطالعه، مدل‌کردن قطعی نبودن تخمین و نه فقط تهیه نقشه‌های هم‌مقدار است، این روش باید به روش قدیمی‌تر کریجینگ معمولی ترجیح داده شود.

### یادداشت‌ها

1. Kriging
2. Semivariogram
3. Best linear unbiased estimator
4. Homoscedasticity
5. Conditional cumulative distribution function
6. Threshold limits
7. Experimental semivariogram
8. E-type estimates
9. Conditional variance
10. Median indicator kriging
11. Cross-validation
12. Mean error
13. Mean absolute error
14. Root mean square error
15. Linear interpolation between tabulated bands

شرقی است با این حال درصد مناطقی که این احتمال در آنجا بیش از ۸۰٪ است، بسیار کمتر است. این نقشه‌ها با فرض دانستن مقدار ریسکی که برنامه‌ریزان و سیاست‌گذاران مربوطه می‌توانند متحمل شوند، در شناسایی مناطق خطرناک از لحاظ سمیت کلر بسیار سودمند است (Castrignano et al., 2008). به نظر می‌رسد یکی از راهکارها در جهت مدیریت مناسب منابع آب منطقه، برداشت نکردن بی‌رویه آب چاه‌ها باشد.

### نتیجه‌گیری

در این مطالعه از روش غیرخطی کریجینگ شاخص در مقایسه با روش مرسوم کریجینگ معمولی (و لاغ کریجینگ) برای پنهانی‌بندی و به ویژه ارزیابی قطعی نبودن تخمین کلر آب زیرزمینی استفاده شده است. نتایج در قالب موارد زیر بیان می‌شود:

۱. روش کریجینگ معمولی (با در نظر گرفتن لگاریتم داده‌ها) که از نظر ریاضی ساده‌تر و دارای سرعت بیشتری نسبت به روش کریجینگ شاخص است، تخمین درست‌تری از مقادیر اندازه‌گیری‌نشده کلر فراهم کرد که علت دقیق کمتر کریجینگ شاخص را می‌توان نبودن کلاس‌های شاخص کافی یا روند بین مشاهدات دانست. بنابراین، به نظر می‌رسد در مطالعات آینده فرایند حذف روند و تأثیر آن در دقیق تخمین کریجینگ شاخص بررسی شود.

۲. همبستگی بین واریانس کریجینگ شاخص با

### منابع

- حشمتی، س.، بیگی‌هرچگانی، ح. ۱۳۹۱. پنهانی‌بندی شاخص‌های کیفی آب زیرزمینی شهرکرد به منظور استفاده در طراحی سامانه‌های آبیاری، مجله پژوهش آب در کشاورزی، جلد ۲۶، شماره ۱، صص ۵۹-۴۳.
- دلبری، م.، افرازیاب، پ.، میرعمادی، س. ر. ۱۳۸۹. تجزیه و تحلیل تغییرات مکانی-زمانی شوری و عمق آب زیرزمینی. مجله آبیاری و زهکشی ایران. جلد ۴، شماره ۳، صص ۳۵۹-۳۷۴.
- رضایی، م.، دواتگر، ن.، تاجداری، خ.، ابولپور، ب. ۱۳۸۹. بررسی تغییرات مکانی برخی شاخص‌های کیفی آب‌های زیرزمینی استان گیلان با استفاده از زمین‌آمار. نشریه آب و خاک. جلد ۲۴، شماره ۵، صص ۹۳۲-۹۴۱.

Adhikary, P.P., Chandrasekharan, H., Chakraborty, D. and Kamble, K. 2010. Assessment of groundwater pollution in West Delhi, India using geostatistical approach. *Environ Monit Assess.*, 167: 599–615.

Adhikary, P.P., Dash, Ch.J., Bej, R. and Chandrasekharan, H. 2011. Indicator and probability kriging methods for delineating Cu, Fe, and Mn contamination in groundwater of Najafgarh Block, Delhi, India. *Environ Monit Assess.* 176 (1-4): 663-76.

Ayers, R.S., and Westcot, D.W. 1989. Water Quality for Agriculture. FAO Irrigation and Drainage, Paper no 29: 1–174, Rome.

Burgess, T.M. and Webster, R. 1980. Optimal interpolation and isarithmic mapping of soil properties: I. The variogram and punctual kriging. *Journal of Soil Science*, 315–331.

Castrignanò, A., Buttafuoco, G., and Giasi, C. 2008. Assessment of Groundwater Salinisation Risk Using Multivariate Geostatistics. *GeoENV VI – Geostatistics for Environmental Applications*, 191-202.

Dammer, K.H., Schweigert, T. and Wittmann, C. 1999. Probability maps for risk assessment in a patchy weed control. *Precision Agriculture*, 1: 185-198.

Dash J.P., Sarangi, A. and Singh, D.K. 2010. Spatial variability of groundwater depth and quality parameters in the National Capital Territory of Delhi. *Environ Manage.*, 45 (3): 640–50.

Delbari, M. 2007. Estimation and stochastic simulation of soil properties for case studies in Lower Austria and Sistan plain, southeast of Iran. Doctorate thesis, University of Natural Resources and Applied Life Sciences, Vienna, Austria.

Deutsch, C.V. and Journel, A.G. 1998. *GSLIB: Geostatistical Software Library and User's Guide*. Second Edition. Oxford University Press, New York, 369 pp.

Goovaerts, P. 1997. *Geostatistics for Natural Resources Evaluation*. Oxford University Press, New York, 483 pp.

Goovaerts, P. 2001. Geostatistical modeling of uncertainty in soil science. *Geoderma*, 103: 3–26.

Goovaerts, P. 2009. AUTO-IK: a 2D indicator kriging program for the automated non-parametric modeling of local uncertainty in earth sciences. *Computers and Geosciences*, 35: 1255-1270.

Goovaerts, P., Webster, R. and Dubois, J.-P. 1997. Assessing the risk of soil contamination in the Swiss Jura using indicator geostatistics. *Environmental and Ecological Statistics*, 4(1): 31–48.

Isaaks, E.H. and Srivastava, R.M. 1989. *An introduction to applied geostatistics*. Oxford University Press, New York, 561 pp.

Jang, Ch.Sh. 2013. Use of multivariate indicator kriging methods for assessing groundwater contamination extents for irrigation. *Environ Monit Assess.*, 185 (5): 4049–4061.

Jang, Ch.Sh., Chen, Sh.K. and Chieh, L.Ch. 2008. Using multiple-variable indicator kriging to assess groundwater quality for irrigation in the aquifers of the Choushui River alluvial fan. *Hydrological Processes*, 22 (22): 4477–4489.

Journel, A.G. and Huijbregts, C.J. 1978. *Mining Geostatistics*. Academic Press, New York, 600 pp.

Journel, A.G. 1983. Non-parametric estimation of spatial distributions. *Mathematical Geology*, 15(3): 445–468.

Lloyd, C.D. and Atkinson, P.M. 1999. Designing optimal sampling configurations with ordinary and indicator kriging, In, *GeoComputation 99*. Fourth International Conference on GeoComputation, Fredericksburg, USA, 25-28 Jul 1999.

McBratney, A.B., Webster, R. and Burgess, T.M. 1981. The design of optimal sampling schemes for local estimation and mapping of regionalised variables, I. Theory and method. *Computers and Geosciences*, 7: 331-334.

McBratney, A.B. and Webster, R. 1981. The design of optimal sampling schemes for local estimation and mapping of regionalised variables, II. Program and examples. *Computers and Geosciences*, 7: 335-365.

Mohammadi, J., van Meirvenne, M. and Goovaerts, P. 1997. Mapping cadmium concentration and the risk of exceeding a local sanitation threshold using indicator geostatistics, In: Soares A. Gómez-Hernández J. Froidevaux R. (eds.) *geoENV I – geostatistics for environmental applications*. Kluwer, Dordrecht, pp. 327–337.

Piccini, C., Marchetti, A., Farina, R. and Francaviglia, R. 2012. Application of indicator kriging to evaluate the probability of exceeding nitrate contamination thresholds. *Int. J. Environ. Res.*, 6(4):853–862.

Robertson, G.P. 2000. *GS+: Geostatistics for the environment sciences*, GS+ User's Guide Version 5: Plainwell. Gamma design software, 200 pp.

Saito, H. and Goovaerts, P. 2000. Geostatistical interpolation of positively skewed and censored data in a dioxin-contaminated site. Environmental Science and Technolgy, 34, pp: 4228–4235.

van Meirvenne, M. and Goovaerts, P. 2001. Evaluating the probability of exceeding a site-specific soil cadmium contamination threshold. Geoderma, 102: 75–100.